

УДК 536.2

НЕСТАЦИОНАРНЫЕ ТЕПЛОВЫЕ ПРОЦЕССЫ ПРИ ПОВЕРХНОСТНОМ НАГРЕВЕ ДВУХСЛОЙНЫХ ПЛАСТИН

Д.Г. КРОЛЬ

*Учреждение образования «Гомельский государственный технический университет имени П.О. Сухого»,
Республика Беларусь*

Введение. Исследование высокоинтенсивных тепловых процессов в материалах, подвергающихся воздействию поверхностных источников энергии, является актуальной задачей современного материаловедения. Отличительной чертой этих задач является большое число непосредственно связанных с ними практических приложений. Достаточно упомянуть широко распространенные методы термообработки, связанные с лазерным нагревом металлов [1, 2], моделирование многослойных теплоизолирующих конструкций [3, 4]. В данной работе теоретически изучаются основные закономерности процессов нагрева (охлаждения) при различных видах нестационарного теплового воздействия на материалы.

Целями исследования являются: 1) анализ пространственно-временной эволюции тепловых полей с учетом зависимости теплофизических свойств материала от температуры; 2) изучение импульсного и гармонического во времени режимов воздействия на испытываемый образец; 3) изучение количественных и качественных характеристик неоднородности теплового поля в двухслойной пластине. Данная работа является продолжением исследования [5].

Постановка задачи. Математическая модель включает следующие уравнения:

$$c_i \frac{\partial T_i}{\partial t} = \frac{\partial}{\partial x} \left(\lambda_i \frac{\partial T}{\partial x} \right) + q_v^{(i)}, \quad q_i = -\lambda_i \partial T_i / \partial x; \quad i = 1, 2;$$

$$c_i(T, x) = \rho_i c_{ci}; \quad \lambda_i = \lambda_i(T, x); \quad q_v^{(i)} = q_v^{(i)}(T, x);$$

$$t \geq 0; \quad x^{(1)} \in [0; h_1]; \quad x^{(2)} \in [h_1, h_2]; \quad h = h_1 + h_2,$$

где x – декартова координата; t – время; T_i – температура; q_i – удельный тепловой поток; λ_i – коэффициент теплопроводности; c_i – удельная объемная теплоемкость; $q_v^{(i)}$ – мощность внутренних источников (стоков) энергии; i – номер слоя.

Искомые функции являются: $T(x, t)$, $q(x, t)$, $x \in [0, h]$, $t > 0$.

Начальное условие:

$$T(x, 0) \equiv const, \quad q_v = 0;$$

либо

$$T(x, 0) \equiv T^0(x), \quad q_v \neq 0.$$

Теплофизические свойства материалов аппроксимируются полиномами третьей степени с постоянными коэффициентами:

$$\lambda = \lambda_0 + \lambda_1 T + \lambda_2 T^2 + \lambda_3 T^3; \quad c = c_0 + c_1 T + c_2 T^2 + c_3 T^3.$$

Граничные условия характеризуются тем, что температура правой границы задана на $x = h$, $T = T_w(t)$.

На левую границу образца действует нестационарный тепловой поток:

$$x = 0, \quad q = q_0(t),$$

где

$$q_0(t) = B + H \sin(\omega t);$$

или

$$q_0(t) = C(1 - \exp(mt)), \quad m < 0;$$

или

$$q_0(t) = D t^n \cdot \exp(mt), \quad m < 0, \quad n > 0.$$

В случае высокоинтенсивного потока энергии следует учитывать поглощательную способность материала $A = A(T)$, и тогда граничное условие примет вид:

$$x = 0, \quad q = A(T)q_0(t).$$

Условия теплового контакта на границе слоев:

$$x = h_1, \quad T^{(1)} = T^{(2)} + \Delta T, \quad q^{(1)} = q^{(2)} + R,$$

где ΔT – скачок температуры; R – тепловое сопротивление зоны контакта. При обезразмеривании применяются масштабы величин (они отмечены нижним индексом b), допускающие инвариантность размерной и безразмерной форм записи, а именно: $q_b = \lambda_b T_b / x_b$, $\lambda_b = x_b^2 c_b / t_b$.

Метод решения. Решение задачи, удовлетворяющее поставленным краевым условиям, выполнено методом интегральных соотношений А.А. Дородницына [6]. Численное интегрирование аппроксимирующей системы обыкновенных дифференциальных уравнений проводилось методом Рунге-Кутты пятого порядка с автоматическим выбором шага. Подробное описание численного алгоритма дано в [5].

Пример расчета. Приведем здесь несколько вариантов расчета воздействия высокоинтенсивного поверхностного источника энергии на двухслойную систему. Для всех представленных вариантов расчета принимались следующие условия:

а) на границе слоев: $x = h_1$, $\Delta T = 0$, $R = 0$;

б) температура на правой границе: $T_w(t) \equiv const$;

в) начальное распределение температуры согласовано с температурой на правой границе образца;

г) толщина первого слоя $h_1 = 0,005$ м, второго – $h_2 = 0,005$ м.

Номер варианта соответствует номеру рисунка. Графическая информация представлена в безразмерной форме. Сплошной линией отображались зависимости на левой границе; штриховой – на границе слоев.

1-й вариант. 1-й слой – медь (Cu); 2-й слой – железо (Fe). Зависимости теплофизических свойств материала от температуры:

$$\text{Cu: } c = 2844422 + 2826,37T - 3,3765T^2 + 0,001567T^3 \text{ Дж}/(\text{м}^3\text{К});$$

$$\lambda = 428,405 - 0,099T + 3,184886 \cdot 10^{-5}T^2 - 1,4388158 \cdot 10^{-8}T^3 \text{ Вт}/(\text{м} \cdot \text{К}).$$

$$\text{Fe: } c = -50479,762 + 19970,229T - 33,4337T^2 + 0,020877652T^3 \text{ Дж}/(\text{м}^3\text{К});$$

$$\lambda = 472,66827 - 0,38651068T - 1,5416465 \cdot 10^{-6}T^2 + 7,3142453 \cdot 10^{-8}T^3 \text{ Вт}/(\text{м} \cdot \text{К}).$$

Величина теплового потока на левой границе:

$$q_0(t) = 7 \cdot 10^7 (1 - \exp(-50t)) \text{ Вт}/\text{м}^2.$$

Начальное распределение температуры: $T(x,0) = 300 \text{ К}$; применялись следующие масштабы величин: $q_b = 1,203 \cdot 10^7 \text{ Вт}/\text{м}^2$; $x_b = 1 \cdot 10^{-2} \text{ м}$; $c_b = 3430755 \text{ Дж}/(\text{м}^3\text{К})$;

$$\lambda_b = 401,08 \text{ Вт}/(\text{м} \cdot \text{К}); T_b = 300 \text{ К}; t_b = 8,553 \text{ с}.$$

На рис. 1 показана зависимость температуры (а) и теплового потока (б) от времени.

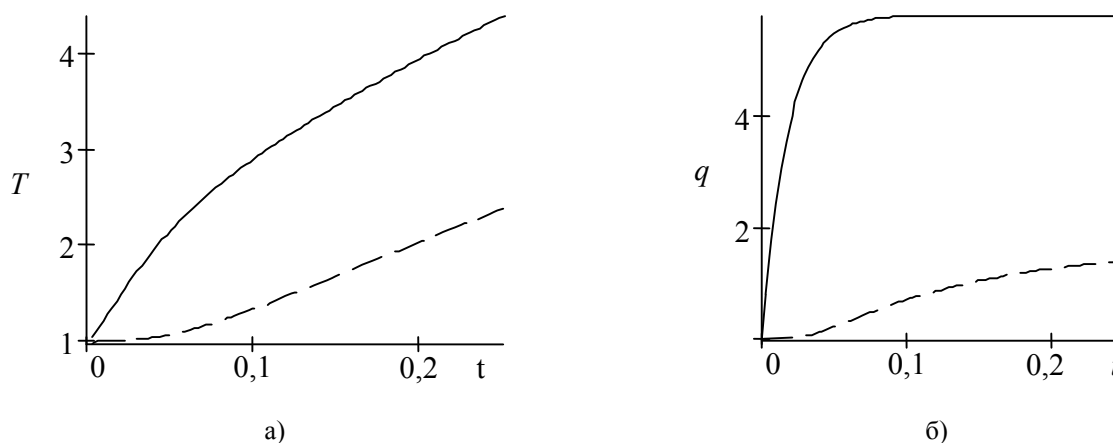


Рис. 1

2-й вариант. 1-й слой – вольфрам (W); 2-й слой – железо (Fe). Зависимости теплофизических свойств материала от температуры:

$$\text{W: } c = 2439734 + 444,122T - 0,10064T^2 + 4,11526 \cdot 10^{-5}T^3 \text{ Дж}/(\text{м}^3\text{К});$$

$$\lambda = 192,4308 - 0,1192T + 5,33096 \cdot 10^{-5}T^2 - 7,6110494 \cdot 10^{-9}T^3 \text{ Вт}/(\text{м} \cdot \text{К}).$$

Величина теплового потока на левой границе:

$$q_0(t) = 5 \cdot 10^{11} \cdot t^{2,7} \exp(-45t) \text{ Вт}/\text{м}^2.$$

Начальное распределение температуры: $T(x,0) = 400 \text{ К}$; применялись следующие масштабы величин: $c_b = 2603913 \text{ Дж}/(\text{м}^3\text{К})$; $\lambda_b = 152,789 \text{ Вт}/(\text{м} \cdot \text{К})$; $t_b = 1,704 \text{ с}$; $T_b = 400 \text{ К}$; $x_b = 1 \cdot 10^{-2} \text{ м}$; $q_b = 6,111 \cdot 10^6 \text{ Вт}/\text{м}^2$.

На рис. 2 показана зависимость температуры (а) и теплового потока (б) от времени.

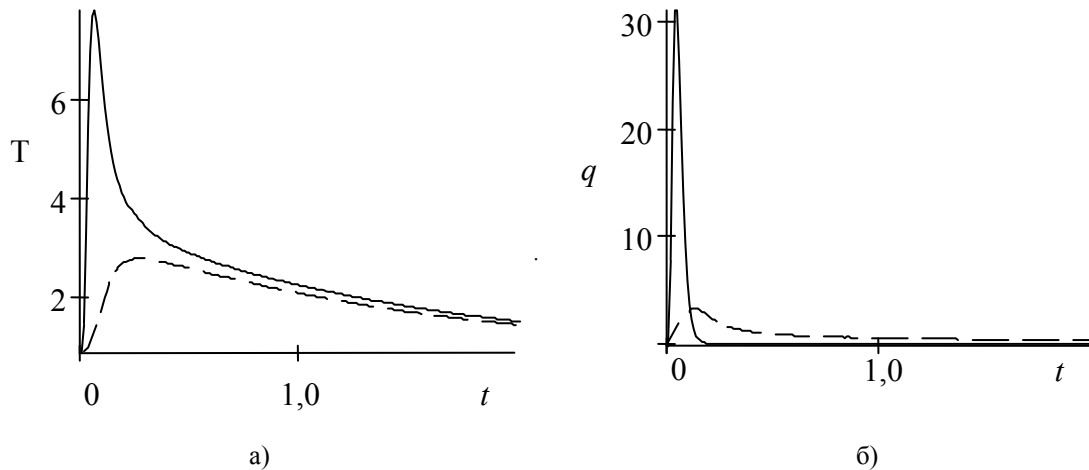


Рис. 2

3-й вариант. 1-й слой – хром (Cr), 2-й слой – железо (Fe). Зависимости теплофизических свойств материала от температуры:

$$\text{Cr: } c = 3230461 - 95.2241T + 1,4739T^2 - 0,0002574T^3 \text{ Дж}/(\text{м}^3\text{К});$$

$$\lambda = 112,7611 - 0,07226T + 3,1318 \cdot 10^{-5}T^2 - 5,1351 \cdot 10^{-9}T^3 \text{ Вт}/(\text{м} \cdot \text{К}).$$

Величина теплового потока на левой границе:

$$q_0(t) = 0,25 \cdot 10^8 \sin(150t) \text{ Вт}/\text{м}^2.$$

Начальное распределение температуры: $T(x,0) = 1000 \text{ К}$; применялись следующие масштабы величин: $c_b = 4351736 \text{ Дж}/(\text{м}^3\text{К})$; $t_b = 6,656 \text{ с}$; $T_b = 1000 \text{ К}$; $x_b = 1 \cdot 10^{-2} \text{ м}$; $\lambda_b = 66,667 \text{ Вт}/(\text{м} \cdot \text{К})$; $q_b = 6,667 \cdot 10^6 \text{ Вт}/\text{м}^2$.

На рис. 3 показана зависимость температуры (а) и теплового потока (б) от времени.

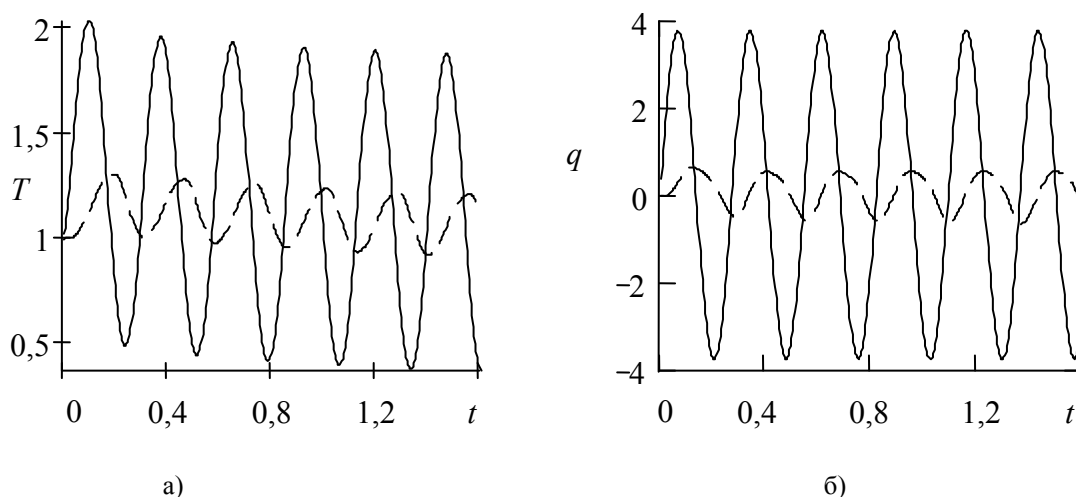


Рис. 3

Заключение. Представлены результаты моделирования нестационарных тепловых процессов при воздействии высокоинтенсивного теплового потока на двухслой-

ную систему. Приведены результаты численного решения для двухслойных пластин Cu-Fe, W-Fe и Cr-Fe.

Работа выполнена под научным руководством проф. О.Н. Шабловского.

Литература

1. Рыкалин Н.Н., Углов А.А., Смуров И.Ю. Расчет нелинейных задач лазерного нагрева металлов // Воздействие концентрированных потоков энергии на материалы. – М.: Наука, 1985. – С. 20-36.
2. Углов А.А., Смуров И.Ю., Лашин А.М., Гуськов А.Г. Моделирование теплофизических процессов лазерного воздействия на металлы. – М.: Наука, 1991. – 288 с.
3. Бушуев А.Ю., Горский В.В. Применение аппарата функций чувствительности и двухконтурного алгоритма в задачах синтеза многослойных конструкций // Инж.-физ. журн. – 2000. – Т. 73. – № 1. – С. 155-160.
4. Резник С. В. Математические модели радиационно – кондуктивного теплообмена в материалах тепловой защиты многоразовых транспортных космических систем // Инж.-физ. журн. – 2000. – Т. 73. – № 1. – С. 11-25.
5. Шабловский О.Н., Кроль Д.Г. Численное решение нелинейных задач нестационарного нагрева материалов // Сб. науч. тр. «Нелинейные краевые задачи математической физики и их приложения» / НАН Украины. Ин-т математики. – Киев, 1998. – С. 234-237.
6. Белоцерковский О.М., Грудницкий В.Г. Исследование нестационарных течений газа со сложной внутренней структурой методами интегральных соотношений // Журнал вычисл. матем. и матем. физики. – 1980. – Т. 20. – № 6. – С. 1400-1415.

Получено 11.10.2002 г.